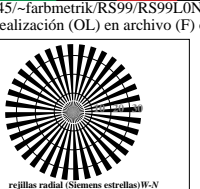
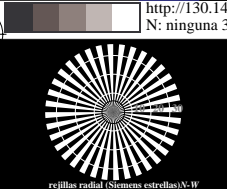
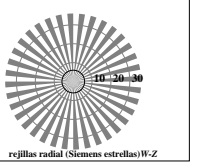
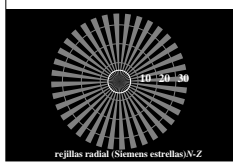


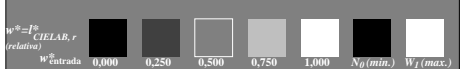
http://130.149.60.45/~farbmetri/RS99/RS99L0N1.TXT/.PS; comience salida
N: ninguna 3D-linealización (OL) en archivo (F) o PS-startup (S), página 1/1



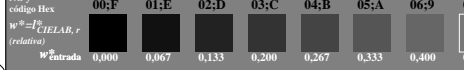
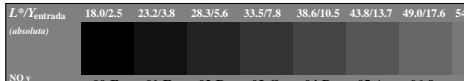
véa archivos semejantes: http://130.149.60.45/~farbmetri/RS99/RS99.HTML
información técnica: http://www.ps.bam.de o http://130.149.60.45/~farbmetri



RS99-3, Fig. A1W.: Elemento A: rejillas radial N-W, W-N, N-Z y W-Z; PS operator: w* setgray



RS99-5, Fig. A2W.: Elemento B: 5 equidistantes L*pasos de gris + N₀ + W_I; PS operator: w* setgray



RS99-7, Fig. A3W.: Elemento C: 16 equidistantes L*pasos de gris; PS operator: w* setgray

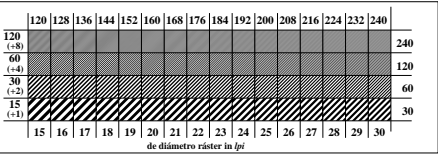
gráfico RS99; ME16(ISO 9241-306), 3(ISO/IEC 15775)
test acromático gráfico N

paso fondo	0	1 paso del anillo	0-1
C digo Hexadecimal	7	C digo Hexadecimal	7-8
E		F	E-F
2		0	2-0
8		6	8-6
F		D	F-D

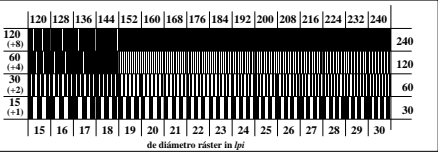
anillos de Landolt W-N

c digo: fondo-paso del anillo

RS991-1, Fig. A4W.: Elemento D: anillos de Landolt W-N; PS operator: w* setgray



RS991-3, Fig. ASW.: Elemento E: Trama líneas menores de 45° (o 135°) grados; PS operator: w* setgray



RS991-5, Fig. A6W.: Elemento F: Trama líneas menores de 90° (o 0°) grados; PS operator: w* setgray

